



Designnotat

Tittel: Anti-alias filter

Forfatter: Karl Henrik Ejdfors

Versjon: 2.0

Dato: 1. desember 2017

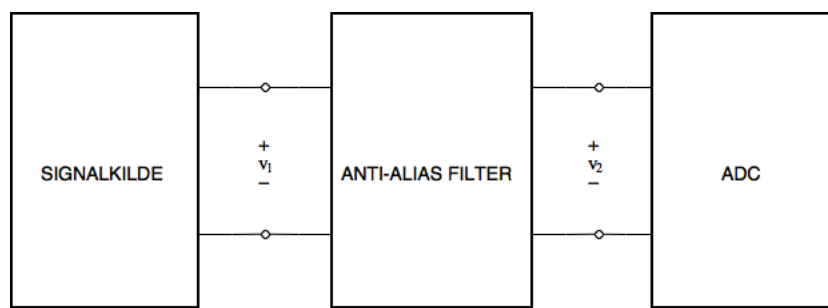
Innhold

1	Problembeskrivelse	1
2	Prinsipiell løsning	1
3	Realisering	3
4	Konklusjon	5

1 Problembeskrivelse

Når et analogt signal skal digitaliseres, er det nødvendig å begrense båndbredden til signalene [1], slik at man unngår aliasing. I følge Nyquists punktprøvingsteorem skal båndbegrensningen til signalet $B = \frac{f_s}{2}$, der f_s er punktprøvingsfrekvensen. Det er derfor ønskelig å dempe frekvenskomponenter over knekkfrekvensen f_c , og å påvirke frekvenskomponentene i passbåndet minst mulig. I realiteten vil det være uoppnåelig å ha en amplituderespons med uendelig brå overgang fra passbånd til stoppbånd, det er derfor nødvendig med noen krav for systemet.

I dette designet skal det lages et anti-alias filter, som vist i figur 1.1, som skal ha en demping på minst 10dB ved frekvensen $\frac{f_s}{2}$. Knekkfrekvensen f_c skal oppfylle $f_c \geq 0.75 \frac{f_s}{2}$. Systemet har inngangsspenningen v_1 fra signalkilden, og utgangsspenningen v_2 som går til en A/D-omformer.



Figur 1.1: Oversiktsfigur av design, modifisert fra [1].

2 Prinsipiell løsning

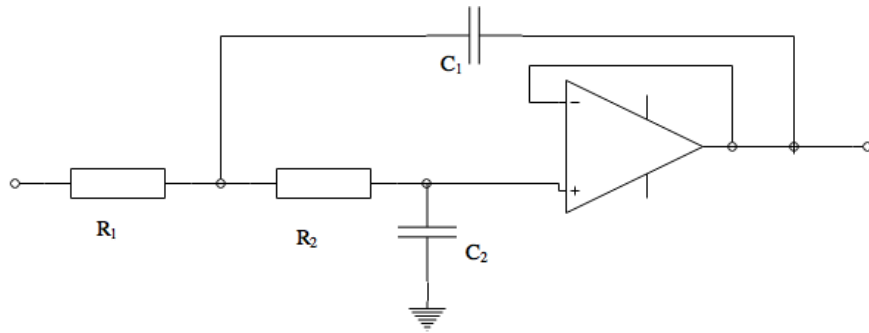
Et anti-alias filter kan designes på mange forskjellige måter. Et mulig design av anti-alias filteret er vist i figur 2.1, og tar utgangspunkt i Butterworth lavpass filter med Sallen-Key struktur. Et slikt filter er optimalisert for å holde passbåndet maksimalt flatt. Filterets orden n bestemmer brattheten fra passbånd til stoppbånd, der stor n gir brattere overgang.

Ved å bruke en Sallen-Key struktur på anti-alias filteret kan en kaskadekopling av flere strukturer være en enkel måte å øke ordenen til filteret på. Systemfunksjonen til systemet blir da produktet av systemfunksjonene til hver kaskadekopling. Ordenen til systemet er dermed $n = 2 \cdot g$, der g er antall kaskadekoplinger.

Ordenen til filteret er bestemt av sammenhengen mellom frekvens og amplituderespons, gitt ved (2.1) [2].

$$A = |H(j\omega)| = \frac{1}{\sqrt{1 + (\frac{f}{f_0})^{2n}}} \quad (2.1)$$

Ved omskriving av (2.1) med hensyn på n blir uttrykket som gitt i (2.2).



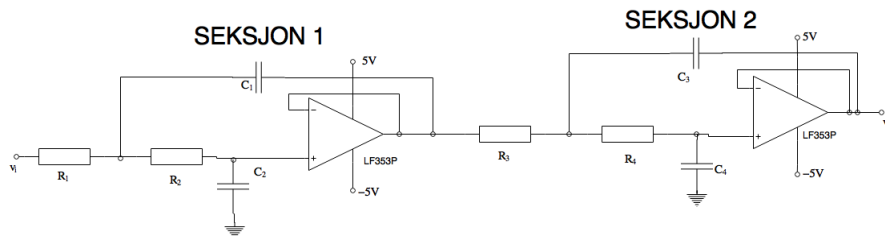
Figur 2.1: 2. ordens Butterworth filter med Sallen-Key struktur

$$n = \frac{1}{2} \cdot \frac{\ln(A^{-2} - 1)}{\ln(\frac{f}{f_0})} \quad (2.2)$$

Eksempelvis blir ordenen til et system med punktpøvningsfrekvens $f_s = 5.6\text{kHz}$ med utgangspunkt i $f_c = \frac{f_s}{2}$, minimum 10dB damping ved $\frac{f_s}{2}$, og (2.2) bli

$$n = \frac{1}{2} \cdot \frac{\ln(10^{\frac{10}{20} \cdot 2} - 1)}{\ln(\frac{2.8}{2.1})} = 3.82 \Rightarrow n = 4.$$

Et slikt system kan implementeres som vist i figur 2.2.



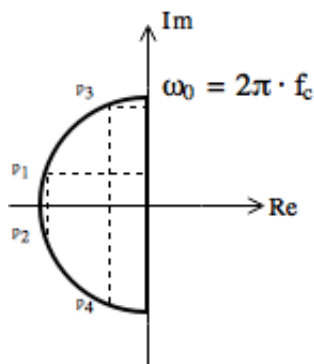
Figur 2.2: 4. ordens Butterworth filter med Sallen-Key-struktur

Systemfunksjonen til hver seksjon i fra figur 2.2, er bestemt av de fire polene, som er to komplekskonjugerte polpar. Disse er gitt ved (2.3).

$$H_i(s) = \frac{\omega_0^2}{(s - p_k)(s - p_{k+1})} = \frac{\omega_0^2}{s^2 + 2\omega_0\zeta_i s + \omega_0^2}, \quad i = 1, 2 \quad k = 1, 3 \quad (2.3)$$

Når vinkelen mellom polene er lik vil amplituderresponsen bli flatest mulig [2]. Polplasseringen er illustrert i figur 2.3. Ved hjelp av polplasseringene til systemet, er analyse av responsen til systemet lettere. Når s i (2.3) nærmer seg en pol, vil nevneren nærme seg null, og frekvensresponsen går mot uendelig. På den måten beskriver polene hvor stabilt et system er ved forskjellige s . Ved figur 2.3 blir uttrykket for dempningsfaktoren ζ_i gitt i (2.4).

$$\zeta_i = \begin{cases} \cos\left(\frac{\pi}{n}i\right), & \text{n odde} \\ \cos\left(\frac{\pi}{2n} + (i-1)\frac{\pi}{n}\right), & \text{n like} \end{cases} \quad (2.4)$$



Figur 2.3: Poler til anti-alias filteret i figur 2.2.

Med $n = 4$ gir dette $\zeta_1 = 0.92388$ og $\zeta_2 = 0.38268$. Tidskonstantene i systemet er da gitt ved (2.5).

$$\tau_k = \frac{1}{\omega_0 \cdot \zeta_i} = RC_k \quad \tau_{k+1} = \frac{1}{\omega_0^2 \cdot \tau_k} = RC_{k+1}, \quad k = 1, 3, i = 1, 2 \quad (2.5)$$

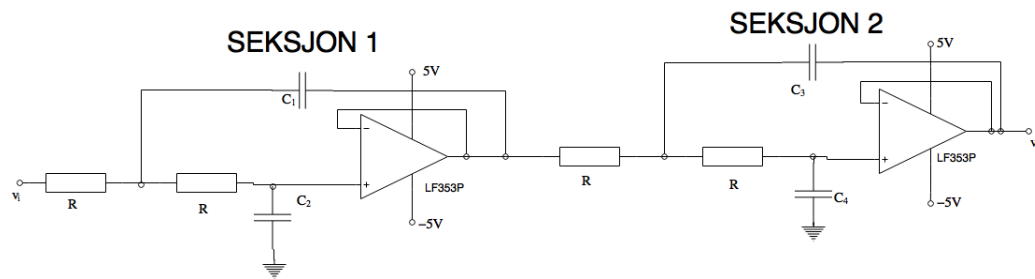
For enkelthets skyld kan motstandsverdiene settes til $R = 1\text{k}\Omega$. Dette fører til at tidskonstantene samt komponentverdiene blir som i tabell 2.1.

Tabell 2.1: Komponentverdier og tidskonstanter

$R = 1\text{k}\Omega$				
Tidskonstant, μs	$\tau_1 = 82$	$\tau_2 = 70$	$\tau_3 = 198$	$\tau_4 = 29$
Kondensator, nF	$C_1 = 82$	$C_2 = 70$	$C_3 = 198$	$C_4 = 29$

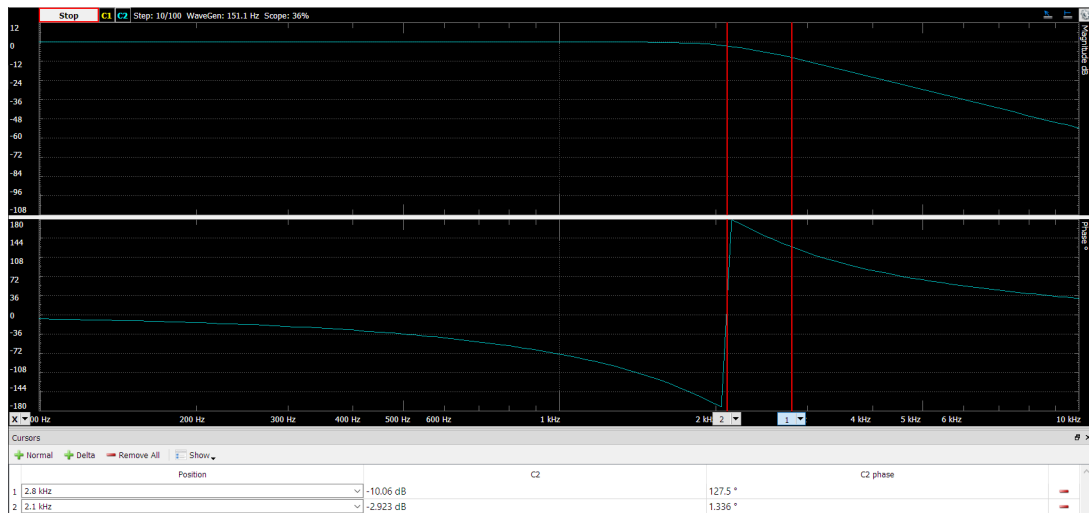
3 Realisering

Systemet testes med en punktprøvingsfrekvens $f_s = 5.6\text{kHz}$. Fra 'Prinsipiell løsning' blir den minste ordenen til systemet $n = 4$. Implementasjonen av systemet er vist i figur 3.1 med komponentverdier fra tabell 2.1.

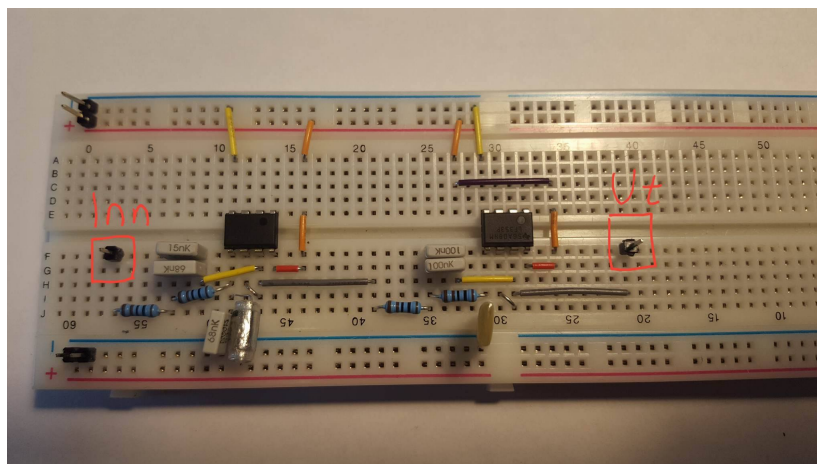


Figur 3.1: Anti-alias filter

Fra Bode-diagrammet i figur 3.2 er det tydelig at knekkfrekvensen er større enn 2.1kHz og at filteret demper alle frekvenskomponenter over $\frac{f_s}{2} = 2.8\text{kHz}$ med minst 10dB. Passbåndet slippes uendret gjennom som forventet. Av Bode-diagrammet ser man at en variasjon på mer enn 10Hz i f_s vil føre til at frekvensresponsen havner utenfor kravspesifikasjonene. For å gjøre filteret mer robust mot variasjoner kan filteret designes med høyere orden n , slik at overgangen fra passbånd til stoppbånd blir enda brattere.



Figur 3.2: Frekvensresponsen til filteret



Figur 3.3: Fotografi av design.

4 Konklusjon

Anti-alias filteret er realisert med et 4. ordens Butterworth filter med Sallen-Key struktur. Filteret demper frekvenskomponenter over $\frac{f_s}{2} = 2.8\text{kHz}$ med minst 10dB, og knekkfrekvensen er målt til å være over $0.75 \cdot \frac{f_s}{2} = 2.1\text{kHz}$. Frekvenskomponentene i passbåndet er minimalt påvirket av filteret.

Referanser

- [1] Ukjent. *Anti-alias-filter*. NTNU, 2017.
- [2] Lars Lundheim. Filterdesign. <https://www.scalable-learning.com/#/courses/2251/modules/7618/courseware/overview>.